

Кросс-поляризованное излучение электрического диполя, параллельного плоскому экрану

Н. Н. Горобец, Н. П. Елисеева

Харьковский государственный университет,
310077, Харьков, пл. Свободы, 4
Email: Nadezhda.P.Yeliseyeva@univer.kharkov.ua

Статья поступила в редакцию 19 октября 1998 г., после переработки 25 июня 1999 г.

На основе равномерной геометрической теории дифракции проведен анализ пространственного распределения основной и кросс-поляризованной составляющих поля излучения электрического диполя, расположенного над прямоугольным металлическим бесконечно тонким экраном параллельно одной из кромок экрана. Определено влияние электрических размеров, соотношения сторон экрана при фиксированной длине одной из них, расстояния диполя от экрана на значения максимальных амплитуд кросс-поляризованных составляющих поля и угловые координаты, при которых они наблюдаются.

На основі методу рівномірної геометричної теорії дифракції проведено аналіз розподілу у просторі основної та крос-поляризованої складових випромінювання електричного диполя, розміщеного у площині, паралельній безмежно тонкому металевому екрану прямокутної форми. Визначено вплив електричних розмірів та співвідношення сторін екрану на значення максимальних амплітуд крос-поляризованих складових поля та відповідних їм кутових координат простору спостереження.

Определение относительной величины кросс-поляризованного излучения антенн различных типов представляет практический интерес. В данной статье эта проблема рассмотрена применительно к вибраторным антеннам с плоским металлическим экраном. Асимптотическое решение трехмерной задачи дифракции излучения произвольно ориентированного электрического вибратора на идеально проводящем бесконечно тонком экране для дальней зоны получено на основе равномерной геометрической теории дифракции (РГТД) в работе [1]. Там же рассчитаны и проанализированы диаграммы направленности (ДН) ортогональных компонент поля излучающей системы экран – диполь в зависимости от ориентации диполя, его удаления от экрана и размеров экрана в различных плоскостях наблюдения. Достоверность полученных результатов проверялась в [2] путем сравнения ДН, рассчитанных нами методом РГТД и методом численного решения интегральных уравнений [3]. В случае диполя, параллельного плоскому экрану, ДН совпадают с графической точностью, начиная с размера экрана порядка длины волны при удалении диполя от экрана на расстояние не более четверти длины волны. С увеличением размера экрана расчеты совпадают и при большем удалении диполя от экрана. В [2], [4] доказана возможность существенного уменьшения уровня излучения назад и повышения сопротивления

излучения анализируемой системы путем выбора оптимального соотношения сторон экрана прямоугольной формы при фиксированных длине одной из сторон и расстоянии диполя от экрана. Целью настоящей статьи является исследование влияния геометрических параметров системы экран – диполь, когда диполь параллелен экрану, на величину и картину распределения кросс-поляризованного излучения во всем пространстве наблюдения, а также определение возможности уменьшения его уровня.

В качестве расчетной модели используется плоский прямоугольный идеально проводящий бесконечно тонкий экран, возбуждаемый электрическим диполем, удаленным от экрана на расстояние h . Задача решается в декартовой системе координат XYZ , выбранной так, что ее начало совпадает с серединой экрана, ось Z направлена перпендикулярно экрану, оси OX и OY параллельны сторонам экрана W и L соответственно, диполь расположен параллельно оси OX . В сферической системе координат, в которой определяются искомые поля, угол ϕ отсчитывается от оси X , угол θ – от оси Z . В рамках равномерной геометрической теории дифракции поле излучения системы экран – диполь представляет собой суперпозицию разрывных геометрооптических (ГО) Его и дифракционных $E_{\text{диф}}$ полей:

$$\begin{aligned} E(\theta, \varphi) &= E_{\text{ро}} + E_{\text{диф}}, \\ E_{\text{диф}} &= E_{1,2} + E_{3,4} + E_{12} + E_{21} + E_{34} + E_{43}, \end{aligned} \quad (1)$$

где $E_{1,2}$ и $E_{3,4}$ – поля первичной дифракции на кромках экрана 1 и 2 (параллельных диполю), 3 и 4 (перпендикулярных диполю); E_{12} , E_{21} , E_{34} , E_{43} – поля вторичной дифракции на кромках 1 и 2, 2 и 1, 3 и 4, 4 и 3 соответственно.

Для детального количественного анализа пространственной структуры кросс-поляризованного излучения в дальней зоне системы экран – диполь и поиска его глобального экстремума в зависимости от размера и соотношения сторон экрана используем разработанные в [1] алгоритмы и программы расчета ДН компонент поля E_θ , E_φ . Напряженность электромагнитных полей основной $E_{\text{осн}}$ и поперечной $E_{\text{поп}}$ поляризаций в произвольной плоскости наблюдения рассчитываем по следующим формулам:

$$\begin{aligned} E_{\text{осн}} &= E_\theta \cos \varphi + E_\varphi \sin \varphi, \\ E_{\text{поп}} &= E_\theta \sin \varphi - E_\varphi \cos \varphi. \end{aligned} \quad (2)$$

Представление каждой из компонент поля в виде суперпозиции полей (1) позволяет исследовать механизм формирования полного поля основной и поперечной поляризации по картинам распределения в пространстве линий равного уровня амплитуд составляющих этих полей $E_{\text{ро}}$, $E_{\text{диф}}$, $E_{1,2}$, $E_{3,4}$, E_{12} , E_{21} , E_{34} , E_{43} . Вследствие симметрии распределения излучения диполя, расположенного над серединой экрана, для представления линий равного уровня амплитуд составляющих поля используем полярную систему координат, в которой угол φ изменяется от нуля до 90° , углы θ отсчитываются вдоль радиус-векторов в каждой плоскости наблюдения $\varphi = \text{const}$ в пределах от нуля до 180° . Пространственная картина распределения амплитуды полного поля определяется границами свет – тень составляющих поля. Угловые координаты границ свет – тень зависят от размеров экрана и положения диполя.

На рис. 1 приведены рассчитанные линии равных значений амплитуд составляющих поля поперечной поляризации, нормированных на максимальную амплитуду поля основной поляризации $E_{\text{осн},\max}$, для диполя, расположенного на высоте $h = 0.25\lambda$ над квадратным экраном с размером сторон 1.5λ .

Рассмотрим механизм формирования излучения для каждой из составляющих поля поперечной поляризации. На рис. 1, а показаны линии равных значений нормированных амплитуд ГО поля поперечной поляризации $F_{\text{поп},\text{ГО}} = 20 \lg(|E_{\text{поп},\text{ГО}}| / |E_{\text{осн},\max}|)$ с экстремумом,

определенным интерференцией падающего и отраженного полей, равным -16 дБ. Границы свет – тень падающего и отраженного полей на сфере наблюдения определяются дугами $\theta_{\text{гр}}(\varphi)$. Максимум $F_{\text{поп},\text{ГО}}$ в случае квадратного экрана всегда образуется в плоскости $\varphi_{\max} = 45^\circ$ в направлении границы свет – тень падающего поля $\theta_{\text{гр}}$. При выбранной геометрии системы экран – диполь максимум поля имеет место в направлении $\theta_{\max} = 102^\circ$, где $F_{\text{поп},\text{ГО max}} = -11.08$ дБ. Максимальное значение амплитуды поля основной поляризации $E_{\text{осн},\max}$ равно $2.16E_0$ (E_0 – поле излучения диполя в свободном пространстве) в направлении $\theta = 0^\circ$ в плоскости $\varphi = 0^\circ$. Как видно из рис. 1, а, в плоскостях $\varphi = 0^\circ$ и $\varphi = 90^\circ$ граничное направление падающего поля $\theta_{\text{гр}} = 108^\circ$.

На рис. 1, в, г приведены линии равных значений нормированных амплитуд полей поперечной поляризации, дифрагированных на кромках экрана 1 и 2:

$$F_{\text{поп}(1,2)} = 20 \lg(|E_{\text{поп}(1,2)}| / |E_{\text{осн},\max}|), \text{ а также } 3 \text{ и } 4:$$

$$F_{\text{поп}(3,4)} = 20 \lg(|E_{\text{поп}(3,4)}| / |E_{\text{осн},\max}|).$$

Углы раствора конусов тени краевых волн этих кромок определяются следующими выражениями:

$$\beta_{1,2} = \arctg \left[\sqrt{\frac{(h^2 + (L/2)^2)/(W/2)^2}{(h^2 + (W/2)^2)/(L/2)^2}} \right], \quad (3)$$

$$\beta_{3,4} = \arctg \left[\sqrt{\frac{(h^2 + (W/2)^2)/(L/2)^2}{(h^2 + (L/2)^2)/(W/2)^2}} \right].$$

Во всех плоскостях

$$\begin{aligned} \varphi < \beta_{1,2} &\quad \text{для кромок 1 и 2,} \\ \varphi > (90^\circ - \beta_{3,4}) &\quad \text{для кромок 3 и 4} \end{aligned} \quad (4)$$

есть области затенения краевых волн в определенном интервале углов θ . При данной геометрии излучающей системы углы раствора конусов тени равны $\beta_{1,2} = \beta_{3,4} = 46.5^\circ$. На рисунках видны границы свет – тень падающего и отраженного ГО полей и вырезанные области тени краевых волн кромок экрана. Область тени кромок 1 и 2 (рис. 1, в) проходит в плоскости $\varphi = 0^\circ$ через направления $\theta = 43.5^\circ$ и $\theta = 136.5^\circ$. Область тени краевых волн кромок 3 и 4 (рис. 1, г) проходит через те же углы θ в плоскости $\varphi = 90^\circ$. Из выражения (3) следует, что при такой комбинации параметров W , L , h , когда значение $\operatorname{tg}\beta$ больше единицы, угол раствора конуса тени $\beta > 45^\circ$. В случае квадратного экрана согласно (3) всегда $\beta > 45^\circ$ и с учетом (4) в плоскостях $\varphi = 43.5^\circ$ – 46.5° области тени

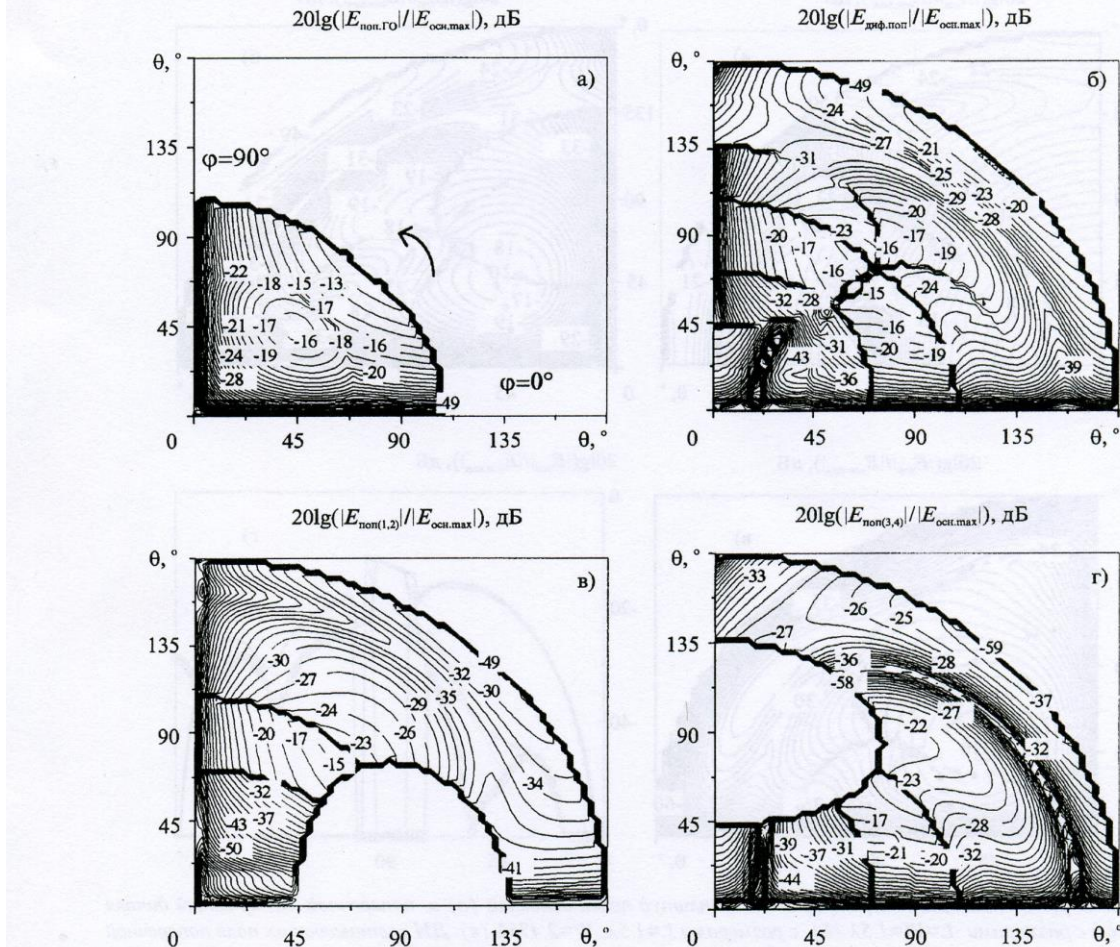


Рис. 1. Линии равных значений нормированных амплитуд составляющих поля поперечной поляризации диполя, расположенного над экраном с размерами $L=W=1.5\lambda$ при $h=0.25\lambda$:
а) ГО поле, б) полное дифрактированное поле, в) поле краевых волн кромок 1 и 2, г) поле кромок 3 и 4

краевых волн кромок 1, 2 и 3, 4 пересекаются в узком интервале значений угла θ (рис. 1, б). В плоскости $\varphi = 45^\circ$ краевые поля всех кромок затеняются в интервале углов $\theta = 78^\circ \dots 102^\circ$, а при $\theta = 104^\circ$ (вблизи границы свет–тень падающего ГО поля) имеют максимальные значения. Из рис. 1, б видно, что максимум нормированного полного дифрактированного поля поперечной поляризации

$$F_{\text{dif,pop}} = 20\lg(|E_{\text{dif,pop}}|/|E_{\text{osc,max}}|)$$

также имеет место в плоскости $\varphi_{\max}=45^\circ$ при $\theta_{\max}=104^\circ$, где $F_{\text{dif,pop,max}} = -15$ дБ.

На рис. 2 представлены изолинии нормированных амплитуд полных полей основной $F_{\text{osc}} = 20\lg(|E_{\text{osc}}|/|E_{\text{osc,max}}|)$ (а) и поперечной $F_{\text{non}} = 20\lg(|E_{\text{non}}|/|E_{\text{osc,max}}|)$ поляризаций в случаях квадратного (б) и прямоугольного (в) экран-

нов. На рисунках для поля поперечной поляризации показаны границы свет – тень ГО поля (штриховая линия), полей краевых волн кромок 3, 4 (штрих-пунктирная линия) и кромок 1, 2 (пунктирная линия). Угловые координаты границ свет – тень и максимумы составляющих поля поперечной поляризации для квадратного экрана с теми же размерами обсуждались выше. Как следует из проведенного анализа, максимум полного поля поперечной поляризации $F_{\text{pop,max}} = -11.08$ дБ совпадает с максимумом падающего ГО поля $F_{\text{pop,GO,max}}$ в плоскости $\varphi_{\max}=45^\circ$ при $\theta_{\max}=102^\circ$. В случае экрана прямоугольной формы граница свет – тень ГО поля определяется дугой $\theta(\varphi)$, которая проходит в плоскости $\varphi=0^\circ$ в направлении $\theta_{\text{rp}}=101^\circ$, а в плоскости $\varphi=90^\circ$ в направлении $\theta_{\text{rp}}=108^\circ$. Угол раствора конуса тени краевых волн

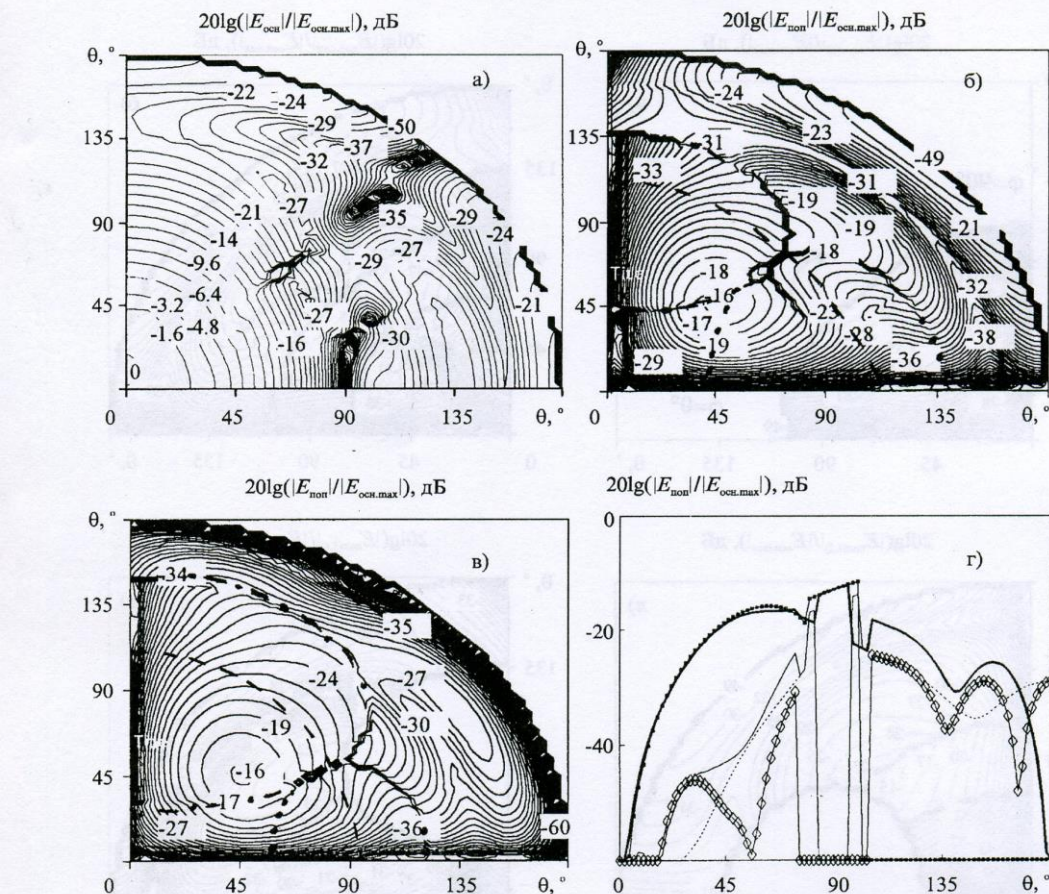


Рис. 2. Линии равных значений нормированных амплитуд полей основной (а) и поперечной поляризаций диполя над экраном с размерами $L=W=1.5\lambda$ (б), с размерами $L=1.5\lambda, W=2.475\lambda$ (в). ДН составляющих поля поперечной поляризации в плоскости $\phi_{\max}=32^\circ$ при $h=0.25\lambda$ (г):

— полное поле; — дифрагированное поле; — ГО поле; поле краевых волн кромок 1, 2; — \diamond поле кромок 3, 4

кромок 3, 4 равен 59.3° , поэтому их область тени проходит в плоскости $\theta = 90^\circ$ в направлении $\phi = 30.7^\circ$, а в плоскости $\phi = 90^\circ$ – в направлениях $\theta = 30.7^\circ$ и $\theta = 149.3^\circ$. Угол раствора конуса тени краевых волн кромок 1, 2 равен 32.5° , их область тени проходит в плоскости $\phi = 0^\circ$ в направлениях $\theta = 57.5^\circ$ и $\theta = 122.5^\circ$, а в плоскости $\theta = 90^\circ$ – в направлении $\phi = 32.5^\circ$. При углах $30.7^\circ < \phi < 32.5^\circ$ области тени краевых волн пересекаются и дифрагированное излучение отсутствует в узком интервале значений угла θ . Локальный экстремум кросс-поляризованного излучения $F_{\text{поп},\max} = -12.1$ дБ и наблюдается в плоскости $\phi_{\max} = 32^\circ$ при $\theta_{\max} = 96^\circ$. Рассмотрим механизм образования этого экстремума. На рис. 2, г приведены расчетные нормированные ДН полного поля поперечной поляризации и его составляющих в плоскости наблюдения их максимальных зна-

чений $\phi_{\max} = 32^\circ$. В этой плоскости ГО поле обрывается при $\theta_{\text{гр}} = 100^\circ$ на уровне -11.58 дБ. Область тени полного дифрагированного поля и поля краевых волн кромок 1, 2 заключена в интервале углов $\Delta\theta_{1,2} = 84^\circ \div 96^\circ$, $F_{\text{поп,диф,max}} = -13.91$ дБ при $\theta = 100^\circ$; область тени кромок 3, 4 находится в интервале углов $\Delta\theta_{3,4} = 76^\circ \div 104^\circ$, а максимальное значение $F_{\text{поп(3,4)max}} = -24.48$ дБ при $\theta = 104^\circ$. Максимум полного поля поперечной поляризации имеет место на границе свет – тени дифрагированного поля в направлении $\theta_{\text{гр}} = 96^\circ$, где совпадает со значением падающего ГО поля, равным -12.1 дБ.

С целью исследования влияния размеров экрана и удаления диполя от экрана на максимальную величину и распределение поля поперечной поляризации в пространстве нами рассчитаны и на рис. 3 представлены линии равных максимальных значений амплитуды поля

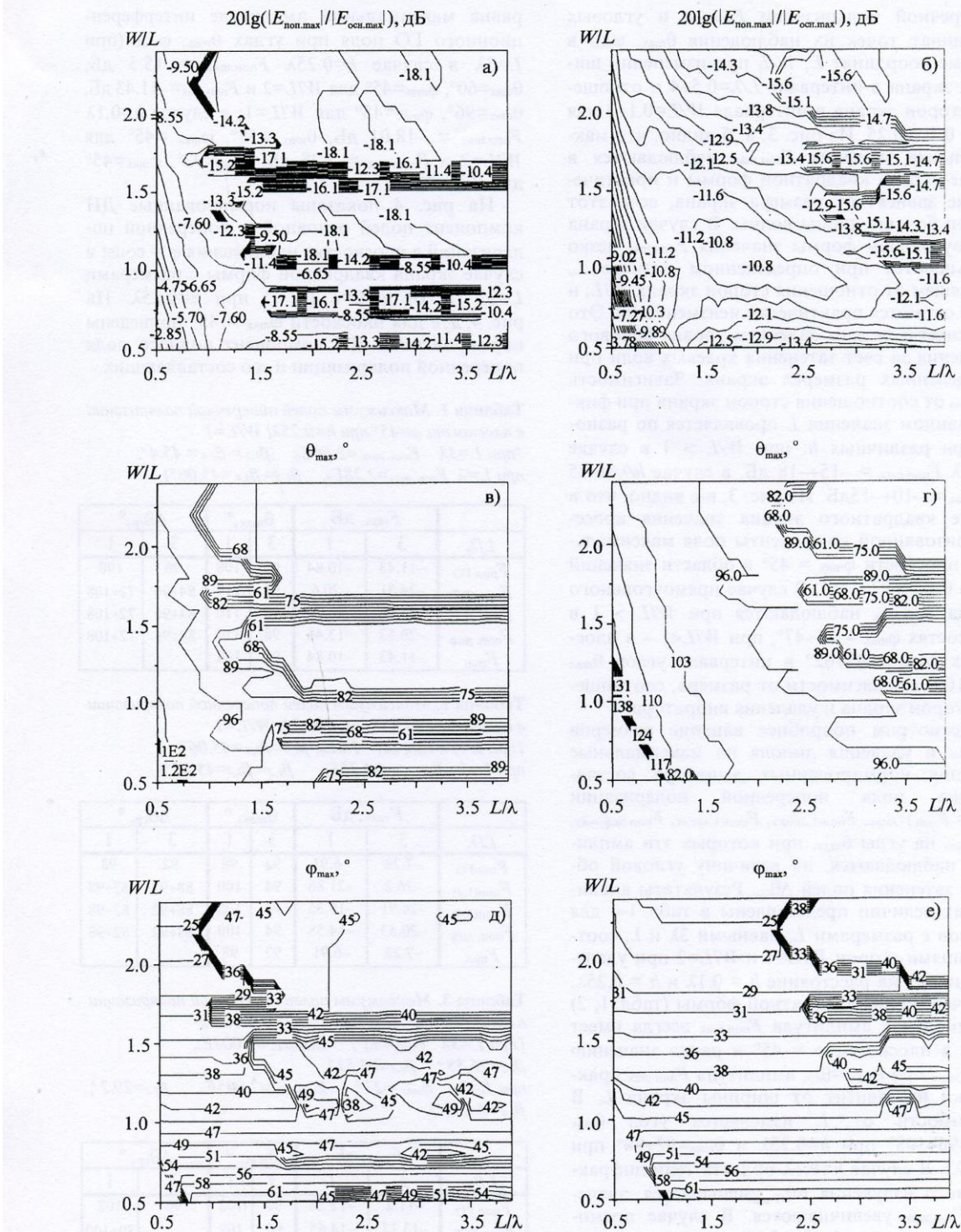


Рис. 3. Линии равных значений максимальных нормированных амплитуд поля поперечной поляризации и углов $\theta_{\text{max}}, \phi_{\text{max}}$, при которых они наблюдаются: $h = 0.1\lambda$ (слева) и $h = 0.25\lambda$ (справа)

поперечной поляризации $F_{\text{поп.макс}}$ и угловых координат точек их наблюдения $\theta_{\text{макс}}$, $\phi_{\text{макс}}$ в системе координат L , W/L при изменении ширины экрана в интервале $L/\lambda=0.5 \div 4$ и отношения сторон экрана в интервале $W/L=0.1 \div 3$ для $h/\lambda = 0.1$ и 0.25 . Из рис. 3, а, б видно, что максимальные значения $F_{\text{поп.макс}}$ наблюдаются в случае экрана квадратной формы и практически не зависят от размера экрана, если этот размер больше длины волны. В случае экрана прямоугольной формы значения $F_{\text{поп.макс}}$ резко уменьшаются при определенном размере L , зависящем от отношения сторон экрана W/L , и далее остаются практически неизменными. Это объясняется резким падением уровня бокового излучения за счет затенения краевых волн при определенных размерах экрана. Зависимость $F_{\text{поп.макс}}$ от соотношения сторон экрана при фиксированном значении L проявляется по разному при различных h : при $W/L > 1$ в случае $h=0.1\lambda$ $F_{\text{поп.макс}} = -15 \div -18$ дБ, в случае $h/\lambda=0.25$ $F_{\text{поп.макс}} = -10 \div -15$ дБ. Из рис. 3, в-е видно, что в случае квадратного экрана значения кроссполяризованных компонент поля максимальны в плоскости $\phi_{\text{макс}} = 45^\circ$ в области значений углов $\theta_{\text{макс}} = 92 \div 110^\circ$. В случае прямоугольного экрана $F_{\text{поп.макс}}$ наблюдаются при $W/L > 1$ в плоскостях $\phi_{\text{макс}} = 25 \div 47^\circ$; при $W/L < 1$ – в плоскостях $\phi_{\text{макс}} = 45 \div 62^\circ$ в интервале углов $\theta_{\text{макс}} = 55 \div 100^\circ$ в зависимости от размера, соотношения сторон экрана и удаления вибратора.

Рассмотрим подробнее влияние размеров экрана и удаления диполя на максимальные значения нормированных амплитуд составляющих поля поперечной поляризации $F_{\text{макс}} = F_{\text{поп.ГОmax}}, F_{\text{поп.(1,2)max}}, F_{\text{поп.(3,4)max}}, F_{\text{поп.диф.макс}}, F_{\text{поп.макс}}$, на углы $\theta_{\text{макс}}$, при которых эти амплитуды наблюдаются, на величину угловой области затенения полей $\Delta\theta_{\text{гр}}$. Результаты анализа этих величин представлены в табл. 1-4 для экранов с размерами L , равными 3λ и λ , соотношениями сторон $W/L=1$ и $W/L=2$ при удалении диполя на расстояние $h = 0.1\lambda$ и $h = 0.25\lambda$. В случае экрана квадратной формы (табл. 1, 2) максимальная амплитуда $F_{\text{поп.макс}}$ всегда имеет место в плоскости $\phi = 45^\circ$ и равна значению $F_{\text{поп.ГОmax}}$ при $\theta_{\text{макс}} = \theta_{\text{гр}}$, амплитуда $F_{\text{поп.макс}}$ практически не зависит от ширины экрана L . В зависимости от L изменяется угол $\theta_{\text{макс}}$ ($\theta_{\text{макс}} = 96 \div 108^\circ$ при $h=0.25\lambda$ и $\theta_{\text{макс}} = 92 \div 98^\circ$ при $h=0.1\lambda$). В случае $h=0.1\lambda$ область тени дифракционного излучения $\Delta\theta_{\text{гр}}$ уменьшается, значения $F_{\text{поп.макс}}$ увеличиваются. В случае прямоугольного экрана (табл. 3, 4) с размерами, при которых во всей плоскости $\phi=\phi_{\text{макс}}$ дифрагированное поле присутствует и интерферирует с ГО полем, максимальная амплитуда $F_{\text{поп.макс}}$ меньше, чем в случае квадратного экрана, и

равна максимальной амплитуде интерференционного ГО поля при углах $\theta_{\text{макс}}, \phi_{\text{макс}}$ (при $L=3\lambda$ в случае $h=0.25\lambda$ $F_{\text{поп.макс}} = -15.5$ дБ, $\theta_{\text{макс}}=60^\circ, \phi_{\text{макс}}=45^\circ$ для $W/L=2$ и $F_{\text{поп.макс}} = -11.43$ дБ, $\theta_{\text{макс}}=96^\circ, \phi_{\text{макс}}=45^\circ$ для $W/L=1$; в случае $h=0.1\lambda$ $F_{\text{поп.макс}} = -18.01$ дБ, $\theta_{\text{макс}} = 58^\circ, \phi_{\text{макс}} = 45^\circ$ для $W/L=2$ и $F_{\text{поп.макс}} = -7.28$ дБ, $\theta_{\text{макс}}=92^\circ, \phi_{\text{макс}}=45^\circ$ для $W/L=1$).

На рис. 4 показаны нормированные ДН компонент полей основной и поперечной поляризаций в плоскостях наблюдения $\phi = \text{const}$ в случае экрана квадратной формы с размерами $L=3\lambda$ (а, б) и $L=\lambda$ (в, г) при $h=0.25\lambda$. На рис. 4, д, е для плоскости $\phi_{\text{макс}} = 45^\circ$ приведены нормированные ДН компонент полного поля поперечной поляризации и его составляющих.

Таблица 1. Максимумы полей поперечной поляризации в плоскости $\phi=45^\circ$ при $h=0.25\lambda, W/L=1$
(при $L=3\lambda E_{\text{осн. макс}} = 2.06E_o, \beta_{1,2} = \beta_{3,4} = 45.4^\circ$;
при $L=\lambda E_{\text{осн. макс}} = 2.28E_o, \beta_{1,2} = \beta_{3,4} = 45.06^\circ$)

| L/λ | $F_{\text{макс}}, \text{дБ}$ | | $\theta_{\text{макс}}, ^\circ$ | | $\Delta\theta_{\text{гр}}, ^\circ$ | |
|------------------------|------------------------------|--------|--------------------------------|-----|------------------------------------|--------|
| | 3 | 1 | 3 | 1 | 3 | 1 |
| $F_{\text{поп.ГО}}$ | -11.43 | -10.84 | 96 | 108 | 96 | 108 |
| $F_{\text{поп.(1,2)}}$ | -24.31 | -20.6 | 98 | 110 | 84±96 | 72±108 |
| $F_{\text{поп.(3,4)}}$ | -24.86 | -18.33 | 98 | 110 | 84±96 | 72±108 |
| $F_{\text{поп.диф}}$ | -20.53 | -13.46 | 98 | 110 | 84±96 | 72±108 |
| $F_{\text{поп}}$ | -11.43 | -10.84 | 96 | 108 | | |

Таблица 2. Максимумы полей поперечной поляризации в плоскости $\phi=45^\circ$ при $h=0.1\lambda, W/L=1$
(при $L=3\lambda E_{\text{осн. макс}} = 1.2E_o, \beta_{1,2} = \beta_{3,4} = 45.06^\circ$;
при $L=\lambda E_{\text{осн. макс}} = 1.26E_o, \beta_{1,2} = \beta_{3,4} = 45.56^\circ$)

| L/λ | $F_{\text{макс}}, \text{дБ}$ | | $\theta_{\text{макс}}, ^\circ$ | | $\Delta\theta_{\text{гр}}, ^\circ$ | |
|------------------------|------------------------------|--------|--------------------------------|-----|------------------------------------|-------|
| | 3 | 1 | 3 | 1 | 3 | 1 |
| $F_{\text{поп.ГО}}$ | -7.28 | -6.91 | 92 | 98 | 92 | 98 |
| $F_{\text{поп.(1,2)}}$ | -26.2 | -21.86 | 94 | 100 | 88±92 | 82±98 |
| $F_{\text{поп.(3,4)}}$ | -26.91 | -19.36 | 94 | 100 | 88±92 | 82±98 |
| $F_{\text{поп.диф}}$ | -20.53 | -14.58 | 94 | 100 | 88±92 | 82±98 |
| $F_{\text{поп}}$ | -7.28 | -6.91 | 92 | 98 | | |

Таблица 3. Максимумы полей поперечной поляризации в плоскости $\phi=\phi_{\text{макс}}$ при $h=0.25\lambda, W/L=2$
(при $L=3\lambda \phi_{\text{макс}}=45^\circ, E_{\text{осн. макс}}=2.004E_o,$
 $\beta_{1,2}=26.88^\circ, \beta_{3,4}=63.51^\circ$;
при $L=\lambda \phi_{\text{макс}}=27^\circ, E_{\text{осн. макс}}=2.005E_o, \beta_{1,2}=29.2^\circ,$
 $\beta_{3,4}=64.12^\circ$)

| L/λ | $F_{\text{макс}}, \text{дБ}$ | | $\theta_{\text{макс}}, ^\circ$ | | $\Delta\theta_{\text{гр}}, ^\circ$ | |
|------------------------|------------------------------|--------|--------------------------------|-----|------------------------------------|--------|
| | 3 | 1 | 3 | 1 | 3 | 1 |
| $F_{\text{поп.ГО}}$ | -11.2 | -12.26 | 96 | 102 | 96 | 102 |
| $F_{\text{поп.(1,2)}}$ | -13.17 | -14.65 | 96 | 102 | | 80±100 |
| $F_{\text{поп.(3,4)}}$ | -39.5 | -22.98 | 140 | 106 | 40±140 | 76±104 |
| $F_{\text{поп.диф}}$ | -18.56 | -14.65 | 96 | 102 | | 80±100 |
| $F_{\text{поп}}$ | -15.52 | -12.5 | 60 | 100 | | |

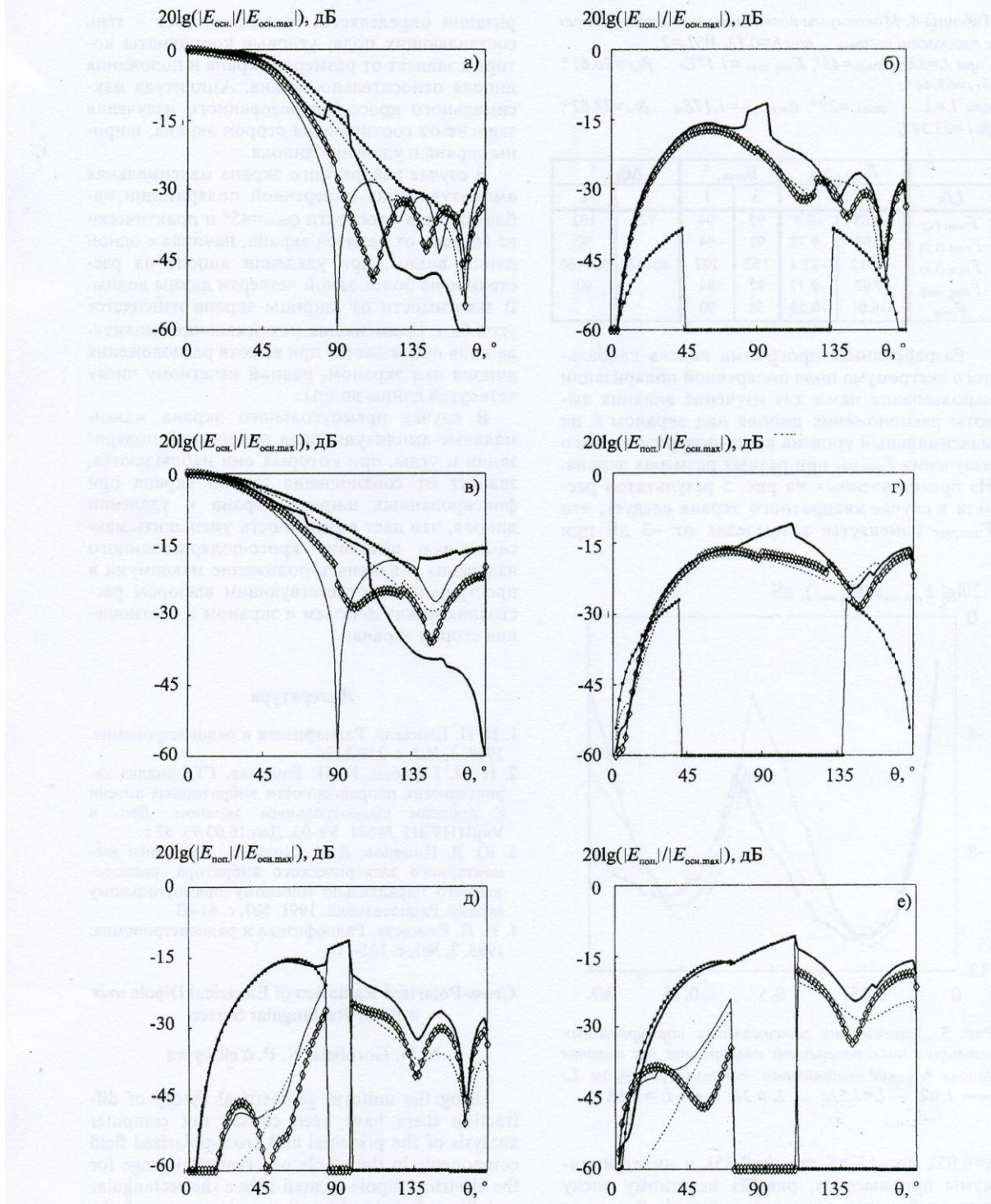


Рис. 4. ДН компонент поля основной и поперечной поляризаций в плоскостях $\varphi=0$ (—), 30° (—○—), 45° (—), 60° (....), 90° (—●—) при $L=3\lambda$ (а, б) и $L=\lambda$ (в, г); составляющие поля поперечной поляризации в плоскости $\varphi=45^\circ$ при $L=3\lambda$ (д) и $L=\lambda$ (е) для $h=0.25\lambda$:
 $E_{\text{нен.ро}}$ —●—, $E_{\text{нен.диф}}$ —, $E_{\text{нен.диф(1,2)}}$, $E_{\text{нен.диф(3,4)}}$ —○—, $E_{\text{нен.}}$ —

Таблица 4. Максимумы полей поперечной поляризации в плоскости $\phi=\phi_{\max}$ при $h=0.1\lambda$, $W/L=2$
(при $L=3\lambda$ $\phi_{\max}=45^\circ$, $E_{\text{осн. max}}=1.17E_0$, $\beta_{1,2}=26.61^\circ$,
 $\beta_{3,4}=63.44^\circ$;
при $L=\lambda$ $\phi_{\max}=27^\circ$, $E_{\text{осн. max}}=1.17E_0$, $\beta_{1,2}=27.02^\circ$,
 $\beta_{3,4}=63.54^\circ$)

| L/λ | F_{\max} , дБ | | θ_{\max} , ° | | $\Delta\theta_{\text{гр}}$, ° | |
|------------------------|-----------------|-------|---------------------|-----|--------------------------------|--------|
| | 3 | 1 | 3 | 1 | 3 | 1 |
| $F_{\text{неп ГО}}$ | -7.13 | -9.5 | 92 | 94 | 92 | 102 |
| $F_{\text{неп (1,2)}}$ | -7.97 | -9.77 | 92 | 94 | | 90 |
| $F_{\text{неп (3,4)}}$ | -42.12 | -25.4 | 152 | 102 | 40÷140 | 80÷100 |
| $F_{\text{неп. диф}}$ | -7.97 | -9.77 | 92 | 94 | | 90 |
| $F_{\text{неп}}$ | -18.01 | -9.23 | 58 | 90 | | |

Разработанная программа поиска глобального экстремума поля поперечной поляризации использована нами для изучения влияния высоты расположения диполя над экраном h на максимальный уровень кросс-поляризованного излучения $F_{\text{неп. max}}$ при разных размерах экрана. Из представленных на рис. 5 результатов расчета в случае квадратного экрана следует, что $F_{\text{неп. max}}$ изменяется в пределах от -3 дБ при

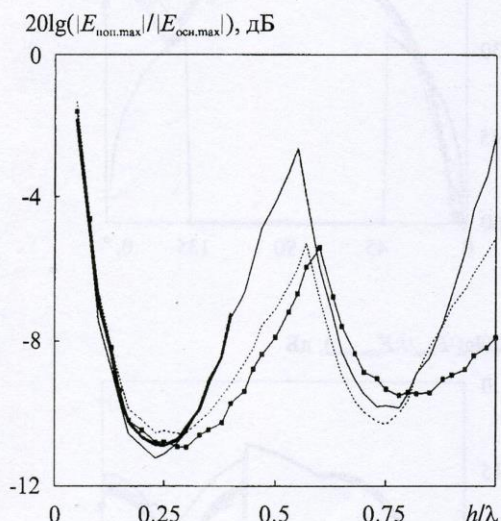


Рис. 5. Зависимость максимальных нормированных амплитуд поля поперечной поляризации от высоты диполя h/λ над квадратным экраном с размером L :
— $L=\lambda$; — $L=1.5\lambda$; $L=2\lambda$; — $L=2.5\lambda$

$h=0.05\lambda$ до -11 дБ при $h=0.25\lambda$ и имеет минимумы при высотах, равных нечетному числу четвертей длины волны. Амплитуды $F_{\text{неп. max}}$ не зависят от размера экрана при удалении диполя на расстояние не более одной четверти длины волны.

Таким образом, пространственная картина распределения полного поля поперечной поля-

ризации определяется границами свет – тень составляющих поля, угловые координаты которых зависят от размеров экрана и положения диполя относительно экрана. Амплитуда максимального кросс-поляризованного излучения зависит от соотношения сторон экрана, ширины экрана и удаления диполя.

В случае квадратного экрана максимальная амплитуда поля поперечной поляризации наблюдается в плоскости $\phi_{\max}=45^\circ$ и практически не зависит от размера экрана, начиная с одной длины волны, при удалении диполя на расстояние не более одной четверти длины волны. В зависимости от ширины экрана изменяется угол θ_{\max} . Наименьшая максимальная амплитуда поля наблюдается при высоте расположения диполя над экраном, равной нечетному числу четвертей длины волны.

В случае прямоугольного экрана максимальные амплитуды поля поперечной поляризации и углы, при которых они наблюдаются, зависят от соотношения сторон экрана при фиксированных ширине экрана и удалении диполя, что дает возможность уменьшить максимальную величину кросс-поляризованного излучения и изменять положение максимума в пространстве соответствующим выбором расстояния между диполем и экраном и соотношения сторон экрана.

Литература

- Н. П. Елисеева. Радиофизика и радиоастрономия. 1998, 3, №2, с. 218-226.
- Н. Н. Горобец, Н. П. Елисеева. ГТД-анализ характеристики направленности вибраторных антенн с плоским прямоугольным экраном. Деп. в УкрИнтЭИ, №521. Ук-93. Деп. 16.03.93, 52 с.
- Ю. В. Пименов, Д. А. Ходьков. Излучение элементарного электрического вибратора, расположенного параллельно плоскому прямоугольному экрану. Радиотехника. 1991, №7, с. 61-63.
- Н. П. Елисеева. Радиофизика и радиоастрономия. 1998, 3, №1, с. 105-110.

Cross-Polarized Radiation of Electrical Dipole over a Plane Rectangular Screen

N. N. Gorobets, N. P. Yeliseyeva

Using the uniform geometrical theory of diffraction there have been carried out computer analysis of the principal and cross-polarized field components in the whole observational range for the electrical dipole located above the rectangular metallic infinitely thin screen along one of the screen edges. The effect has been analyzed of the electric dimensions of the screen, its sides ratio and the dipole distance from the screen on the maximal values of the cross-polarized radiation and the angle coordinates at which they are observed.